

УДК 551.76(477.75)

Р.Р. Габдуллин¹, Н.В. Бадулина², Е.А. Бакай³, Е.А. Щербинина⁴, Е.В. Карпова⁵,
М.А. Варзанова⁶, А.В. Сергиенко⁷, Т.А. Коновалова⁸

СТРОЕНИЕ И УСЛОВИЯ ФОРМИРОВАНИЯ ОТЛОЖЕНИЙ БЕДЕНЕКИРСКОЙ СВИТЫ (ТИТОНСКИЙ ЯРУС) ГОРНОГО КРЫМА⁹

В результате обобщения собственных данных и анализа опубликованных и фондо-
вых источников уточнены строение и условия формирования отложений беденекирской
свиты Горного Крыма.

Ключевые слова: мезозой, титонский ярус, стратиграфия, Горный Крым.

Composition and origin of deposits belonging to Bedenekyr Formation of the Mountainous Crimea based upon generalizations of our own results and analysis of published and unpublished data were specified.

Key words: Mesozoic, Titonian stage, stratigraphy, Mountainous Crimea.

Введение. Несмотря на долгую историю геологического изучения (с XVIII в.) и обилие фактического материала о составе, строении, возрасте и условиям формирования отложений титонского яруса Горного Крыма, нет общепринятой концепции о его характеристике и генезисе. Это обусловлено тектоническими дислокациями, нарушающими первичные пространственные соотношения стратонов, а в некоторых местах — бедностью палеонтологических остатков, которые позволили бы точнее определить возраст и условия седиментации этих отложений. Последнее обстоятельство крайне важно для уточнения схемы свитного деления отложений Горного Крыма (в частности, стратиграфического положения и диапазона свит).

Методика работ включала: 1) сбор, анализ и систематизацию фондовых, архивных и опубликованных материалов; 2) полевые наблюдения; 3) лабораторные исследования; 4) камеральные работы.

Сбор, анализ и систематизация фондовых, архивных и опубликованных материалов заключались в анализе результатов работ предшественников.

В рамках полевых наблюдений на Бабуган-Яйле описаны 22 точки наблюдения, с замером элементов залегания и отбором проб. Анализ нанопланктона выполнен для 8 проб, отобранных на г. Северная Демерджи из одновозрастных отложений. Полевые наблюдения выполнены Е.А. Бакай, А.В. Сергиенко, Т.А. Коноваловой и другими под руководством Р.Р. Габдуллина при технической помощи Н.В. Бадулиной.

Лабораторные работы включали петрографическое исследование 18 шлифов, микрофаунистический анализ (нанопланктон) 8 образцов из одновозрастных образований (г. Северная Демерджи), определение концентрации нерастворимого остатка и состава породообразующих минералов карбонатных пород (газоволюметрический метод) в 22 образцах.

Шлифы изготовлены и описаны на геологическом факультете МГУ имени М.В. Ломоносова. Петрографическое исследование горных пород в шлифах выполнено по стандартной методике [Фролов, 1992] Е.В. Карповой и М.А. Варзановой (МГУ). Растворение карбонатных пород для определения концентрации нерастворимого остат-

¹ Московский государственный университет имени М.В. Ломоносова, геологический факультет, кафедра региональной геологии и истории Земли, доцент, канд. геол.-минерал. н.; e-mail: mosgarsus@rambler.ru

² Московский государственный университет имени М.В. Ломоносова, геологический факультет, кафедра динамической геологии, ст. науч. с., канд. геол.-минерал. н.; e-mail: nvbadulina@mail.ru

³ Московский государственный университет имени М.В. Ломоносова, геологический факультет, кафедра геологии и геохимии горючих полезных ископаемых, ст. науч. с., канд. геол.-минерал. н.; e-mail: bakay_lena@inbox.ru

⁴ Геологический институт РАН, лаборатория микропалеонтологии, вед. науч. с., канд. геол.-минерал. н.; e-mail: katuniash@gmail.com

⁵ Московский государственный университет имени М.В. Ломоносова, геологический факультет, кафедра литологии, доцент, канд. геол.-минерал. н.; e-mail: kargoff_2002@mail.ru

⁶ Московский государственный университет имени М.В. Ломоносова, геологический факультет, кафедра региональной геологии и истории Земли, магистрант; e-mail: maria.varzanova@yandex.ru

⁷ Московский государственный университет имени М.В. Ломоносова, геологический факультет, кафедра региональной геологии и истории Земли, магистрант; e-mail: sergienko.andrey94@yandex.ru

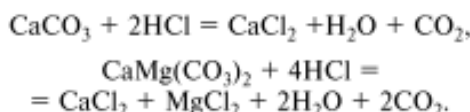
⁸ Московский государственный университет имени М.В. Ломоносова, геологический факультет, кафедра региональной геологии и истории Земли, магистрант; e-mail: konovalova77733@mail.ru

⁹ Лабораторные исследования поддержаны грантом РФФИ (проекты №15-05-03004, 15-05-04099).

ка проведено в уксусной кислоте по стандартной методике [Анализ..., 1969] на геологическом факультете МГУ имени М.В. Ломоносова (аналитик М.А. Варзанова).

Газоволюметрический метод. Под карбонатностью пород понимается содержание в них солей угольной кислоты: кальцита CaCO_3 , доломита $\text{CaCO}_3 \cdot \text{MgCO}_3$, соды Na_2CO_3 , поташа K_2CO_3 , сидерита FeCO_3 и др. При определении карбонатности подсчеты относят к массе CaCO_3 , так как кальцит наиболее распространен в породах и составляет основную часть перечисленных карбонатов.

Из различных методов определения карбонатности при анализе образцов наиболее распространен газоволюметрический, основанный на химическом разложении солей угольной кислоты под действием соляной кислоты и измерении объема углекислого газа, образовавшегося в результате реакций:



Для раздельного определения кальцита и доломита использовали прибор «Карбонатометр КМ-04». Принцип работы карбонатометра заключается в следующем. Измельченный образец горной породы (размер частиц $\leq 0,1$ мм) массой до 1000 мг помещают в съемный стакан реакционной камеры, плотно скручивают его с крышкой и с помощью поршневого дозатора подают в нее разбавленную в соотношении 1:6 соляную кислоту. При вспышке раствора в реакционной камере происходит сжатие воздуха, что приводит к быстрому изменению давления (примерно на $0,17$ кг/см 2) и срабатывает автоматический запуск процесса измерения, который начинается со включения привода магнитной мешалки.

В процессе перемешивания за счет взаимодействия карбонатных веществ с соляной кислотой происходит выделение двуокиси углерода и увеличение давления в реакционной камере пропорционально количеству образовавшегося газа. Изменение избыточного давления контролируется датчиком и отображается на цифровом индикаторе панели блока управления и на мониторе компьютера. Различие в скорости протекания реакции взаимодействия соляной кислоты чистого кальцита и кальцита и доломита в пробе позволяет по измеренным значениям давления автоматически определить содержание карбонатных веществ в образце. Контроль температуры позволяет ввести в программу обработки данных измерений поправки на изменение давления в реакционной камере, связанные с влиянием температуры (аналитик Е.А. Бакай (МГУ), техническая помощь — М.А. Варзанова).

Препараты для изучения нанопланктона изготовлены по стандартной методике [Bown, Young, 1998] из необработанной породы: измельченную породу наносили на покровное стекло и растирали в капле спирта до получения однородного распределения по поверхности стекла, после чего покровное стекло фиксировали с использованием оптического клея Norland Optic Adhesive 60. Изучение препаратов проводилось после их высыхания под микроскопом «Olympus BX-41» (аналитик Е.А. Шербинина, ГИН РАН).

На стадии камеральных работ Р.Р. Габдуллин и Н.В. Бадулина (МГУ) ознакомились с коллекциями каменного материала по территории исследований (листы L-36-XXIX, L-36-XXX, L-36-XXXIV, L-37-XXXV), интерполировали данные аналитических исследований, и выполнили комплексную интерпретацию геологических и литолого-химических данных.

Характеристика отложений. Беденекирская свита обнажается на плато и вдоль северного склона Ай-Петри, Долгоруковской яйлы и Караби-яйлы. Свита была выделена В.Ф. Пчелинцевым в 1962 г. Стратотип свиты — разрез одноименной горы на западе массива Ай-Петри. Отложения свиты представлены переслаиванием известняков серых, желтых, с прослойками мергелей, алевролитов и глин, что придает образованиям свиты циклическое строение [Фіколіна и др., 2008; Анфимова, 2015]. Пластовая цикличность хорошо подчеркнута профилем выветривания. Эти образования согласно залегают на породах ялтинской свиты (нижний и средний титон) или, в некоторых местах, несогласно на размытой поверхности ялтинской свиты (северный склон Главной гряды). В пределах горных массивов Ай-Петри, Караби-яйлы и Долгоруковской яйлы они формируют плато, а на их северных склонах несогласно перекрыты комплексом нижнемеловых пород [там же].

По нашим наблюдениям азимут падения (АЗ ПД) составляет $253\text{--}300^\circ$ (обычно около $260\text{--}270^\circ$), а угол падения (\angle) $45\text{--}84^\circ$ (обычно около $40\text{--}50^\circ$) (табл. 1). Породы свиты местами тектонически дислокированы, о чем свидетельствует смена элементов залегания (азимута и угла падения или угла падения) и появляющаяся в этих местах трещиноватость. Нетипичные элементы залегания характеризуются следующими величинами: АЗ ПД $37\text{--}45^\circ$ (обычно около 40°), $\angle 21\text{--}30^\circ$ (обычно около $22\text{--}25^\circ$) (табл. 1).

В нижней части стратотипического разреза на плато Ай-Петри преобладают органогенно-обломочные и пелитоморфные известняки (мощность пластов может достигать 15–20 м) с подчиненными прослойками мергелей (до 1 м) и алевролитов (0,2 м). В верхней части разреза мощность (и доля) слоев мергелей и алевролитов увеличивается до 3 и 0,6 м соответственно. Отложения свиты фациально изменчивы. Так, на-

Таблица 1
Сравнительная характеристика элементов залегания пород
беденекирской свиты

| Номер точки | Азимут падения, град. | Угол падения, град. | Элементы залегания трещиноватости |
|-------------|-----------------------|---------------------|---|
| 3000 | 300 | 56 | Взаимно перпендикулярные трещины АЗ ПД 220, угол 90 и АЗ ПД 295, $\angle 4$ |
| 3001 | 296 | 52 | - |
| 3002 | 290 | 45 | - |
| 3003 | 286 | 50 | - |
| 3004 | 301 | 48 | Система трещин, АЗ ПД 286, $\angle 6$ |
| 3005 | 40 | 25 | - |
| 3006 | 289 | 47 | - |
| 3007 | 275 | 42 | - |
| 3008 | 280 | 48 | - |
| 3009 | 44 | 22 | Система трещин, АЗ ПД 286, $\angle 92$ |
| 3010 | 290 | 50 | - |
| 3011 | 284 | 46 | - |
| 3012 | 43 | 21 | - |
| 3013 | 290 | 51 | - |
| 3014 | 38 | 22 | - |
| 3015 | 45 | 30 | - |
| 3016 | 37 | 24 | - |
| 3017 | 283 | 84 | Система трещин, АЗ ПД 283, $\angle 4$ |
| 3018 | 253 | 45 | Система трещин, АЗ ПД 274, $\angle 92$ |
| 3019 | 270 | 60 | Взаимно перпендикулярные трещины АЗ ПД 220, $\angle 91$ и АЗ ПД 295, $\angle 5$ |
| 3020 | 261 | 48 | - |
| 3021 | 254 | 57 | - |
| 3022 | 260 | 63 | - |
| 3023 | 261 | 60 | - |
| 3024 | 270 | 62 | Система трещин, АЗ ПД 264, $\angle 78$. |

Примечание. Полужирным курсивом выделены значения, отличающиеся от основного массива данных и отвечающие зонам дислокации.

пример, на северном склоне Главной гряды, на г. Басман-Кермен, в преимущественно карбонатном разрезе, представленном мелкозернистыми, пелитоморфными, обломочными известняками, иногда брекчийевидными, появляются пласты терригенных пород — песчаников, конгломератов и глин. Мощность песчаников мелкозернистых серых, темно-серых, полимиктовых достигает 4,5 м, а глин — не более 1 м, конгломератов (в основном состоящих из обломков карбонатных пород) — до 10 м. Мощность разреза свиты в стратотипическом разрезе 100,8 м [Фіколіна и др., 2008].

Свита, по нашим представлениям, отвечает большей части толщи VI (верхний титон) разреза г. Северная Демерджи [Рудько, 2014]. Мощность свиты сильноизменчива: в районе Большого каньо-

на она составляет 200–250 м, на г. Беденекир — 400–450 м, на г. Басман-Кермен — 100–150 м, максимальная мощность на Караби-яйле — 500–800 м [Фіколіна и др., 2008]. Таким образом, мощность значительно варьирует в диапазоне 100–800 м.

Пластовая цикличность, как правило, представлена чередованием пелитоморфных и/или органогенно-обломочных и брекчийевидных известняков с подчиненными прослоями песчанистых разностей известняков и мергелей (или терригенных пород — песчаников, глин и конгломератов) или пересланением относительно более и менее карбонатных пород. В строении свиты устновлены вариации эвстатического уровня океана, а именно шкалы обмеления 3-го порядка [Рудько, 2014].

В свите в стратотипическом разрезе найдены брахиоподы *Neria ligifera* Zitt., *Ravillieria nihonensis* (Suess.), *Pasterikuria bicoidensis* (Zhusehn.) и др., кораллы *Cyrtocoenia hexacoralla* Dampell, *Thamnopora globosa* (Og.), *Tb. ruchini* Kr., *Tb. subgregori* Kr. и др., гастропод *Pittmannia longa* P el., *P. canisana* P el., *Nerinea istigensis* P el. [Фіколіна и др., 2008], на г. Басман-Кермен — кораллы *Styliina rugifrons* (Ogilvie.), на северном склоне Караби-яйлы — аммониты *Thysanolytoceras* aff. *Lebigi* (Opp.), *T. sulcata* (Opp.), *Berriasella callisto* (Orb.), *B. chaperi* Pict., *Malboisceras malbasi* (Pict.), *Harpoceras carachtheis* Zeisch.; в разрезе Долгоруковской яйлы (г. Коль-Баир) — гастроподы *Arahitidea ablonga* Pchel. и *Nerinea leucostoma* Ram., аммониты *Proteoconites quadrivalvis* (d'Orb.) и др. Таким образом, образования свиты содержат формы, в целом характерные для позднего титона (зона *Virgatosiphinctes transitorius*) [Фіколіна и др., 2008]. Возраст свиты принят позднетитонским.

На аэрофото- и космоснимках свита имеет светло-серый фототон. Пластовая цикличность видна на материалах дистанционных исследований. В образованиях беденекирской свиты, представленной карбонатными породами, разрабатываются известняки, например, здесь локализовано крупное Мраморное месторождение.

Область распространения свиты отвечает низким значениям аномалий магнитного поля и высоким значениям аномалий гравитационного поля.

Метаморфизм в ходе наших исследований и по данным предшественников не встречен. Метасоматические преобразования пород представлены доломитизацией известняков. Радиологических определений возраста горных пород свиты нет.

Согласно исследованием предшественников [Фіколіна и др., 2008], возможно выделение следующих литологических типов (литотипов) пород свиты:

1) пелитоморфные известняки, которые сложены микрозернистым кальцитом.

2) органогенно-обломочные известняки с преобладанием кальцитизированных раковин и их

Таблица 2
Геохимическая характеристика отложений беденекирской свиты, по [Рудько, 2014]

| С.П.*, % | Mg, % | Mn, мкг/т | Fe, мкг/т | Sr, мкг/т | Mg/Ca | Mn/Sr | Fe/Sr | $^{87}\text{Sr}/^{86}\text{Sr}^2$ |
|----------|-------|-----------|-----------|-----------|-------|-------|-------|-----------------------------------|
| 8,7 | 0,4 | 280 | 2770 | 563 | 0,011 | 0,50 | 4,9 | 0,70729 |

* Силикокластическая примесь.

обломков, имеют микритовый кальцитовый цемент;

3) известняки брекчиеподобные и известняковые брекчи, состоящие из обломков органогенных и пелитоморфных известняков размером от 0,1 до 3–10 см, с глинисто-карбонатным цементом;

4) известняки алевритистые, песчанистые, содержащие до 30% алеврито-песчанистого вещества (представлено кварцем (до 99%) и полевым шпатом);

5) мергели карбонат-хлорит-гидрослюдистые, со значительной примесью кварца;

6) песчаники и алевролиты кваршевого состава на глинисто-карбонатном цементе, обогащенные углифицированными растительными остатками [Фиколина и др., 2008].

Эти литологические разности пород свиты установлены при полевых наблюдениях. Кроме того, нами впервые выделен новый литотип, представленный доломитом. Доломитизация известняков отмечена при полевом описании, на стадии лабораторно-аналитических исследований она подтверждена данными газоволюметрического метода (косвенно — методом нерастворимого остатка) и при петрографическом исследовании пород в шлифах.

Для одного образца пелитоморфных известняков (с г. Северная Демерджи) есть комплексная геохимическая характеристика [Рудько, 2014] (табл. 2). Видно, что эти известняки (литотип 1) охарактеризованы низкой долей силикокластической примеси (8,7%), или так называемого нерастворимого остатка.

Результаты исследований и их обсуждение. Подводя итог анализу литературных источников, отметим в целом хорошую изученность этих от-

ложений, а также хорошую корреляцию наших оригинальных данных с результатами предшествующих работ. Нами получены новые данные, дополняющие существующие представления о составе пород свиты.

Микрофаунистический анализ. Не менее 15–20 рядов препарата каждого образца были просмотрены для выявления остатков известкового нанопланктона, однако ни одного экземпляра не обнаружено. Полное отсутствие остатков нанопланктона даже плохой сохранности в морских отложениях, заведомо принципиально пригодных для обитания нанопланктона, свидетельствует, по-видимому, не о перекристаллизации отложений (при которой часто сохраняются неопределенные кокколиты наиболее резистентных к перекристаллизации форм), а о неблагоприятных условиях захоронения нанопланктона, скорее всего, не только о мелководности бассейна, но и высокой гидродинамической активности, делающей невозможным осаждение частиц столь мелкой размерности.

Определение концентрации нерастворимого остатка и состава породообразующих минералов карбонатных пород (газоволюметрический метод). Анализируя результаты, отметим хорошую корреляцию данных, полученных двумя разными методами (табл. 3). Минимальные и максимальные значения содержания компонентов близки, что с методической точки зрения позволяет на практике использовать любой из этих методов, хотя газоволюметрический метод точнее и информативнее. Полученные данные в целом хорошо коррелируют с полевыми макроскопическими описаниями (табл. 4) и данными предшественников. Так, в частности, нами отмечены ранее выделенные литологические типы (табл. 4). Отметим низкое

Таблица 3

Сравнительная характеристика результатов определение концентрации компонент газоволюметрическим методом и методом нерастворимого остатка в отложениях беденекирской свиты

| Метод | Компоненты | Содержание, % | | |
|------------------------|----------------------|-----------------------------------|---------|--|
| | | минимальное | среднее | максимальное |
| Газоволюметрический | кальцит | 100 (т.н. 3009, 3010, 3013) | 66,6 | 0 (т.н. 3001, 3002) |
| | Доломит | 40 (т.н. 3001) | 2,7 | 0 (т.н. 3000, 3007, 3008, 3009, 3010, 3011, 3013, 3014, 3018–3022) |
| | нерасторимый остаток | 95,5 (т.н. 3002) | 25,7 | 0 (т.н. 3003, 3005, 3006, 3009, 3010, 3013) |
| Нерастворимого остатка | карбонат | 100 (т.н. 3006, 3009, 3010, 3013) | 65,6 | 0 (т.н. 3002) |
| | нерасторимый остаток | 100 (т.н. 3002) | 25,7 | 0 (т.н. 3006, 3009, 3010, 3013) |

Таблица 4

Состав пород беленикирской свиты по данным газоволометрического метода (А), метода нерастворимого остатка (Б) и петрографического исследования пород в шлифах (В)

| Номер образца | Литологический состав (по микроскопическому описанию) | Литотип, по [Фоколина и др., 2008] | Кальцит, % | | | Доломит, % | | | Нерастворимый остаток, % | | |
|---------------|---|------------------------------------|------------|------|----|------------|----|------|--------------------------|----|---|
| | | | А | Б | В | А | Б | В | А | Б | В |
| 3000 | Известник доломитизированный | 1 | 95,4 | 94 | 40 | 0 | 0 | 4,6 | 6 | 60 | |
| 3001 | Доломит цианобактериально-водорослевый | 7* | 0 | 2,5 | 5 | 40 | 50 | 60 | 97,5 | 45 | |
| 3002 | То же | 7* | 0 | 0 | 10 | 4,5 | 35 | 95,5 | 100 | 55 | |
| 3003 | Известник доломитизированный | 2 | 96,9 | 95,2 | 29 | 3,1 | 5 | 0 | 4,8 | 75 | |
| 3004 | Известник органогенний | 2 | - | 97,3 | 40 | - | - | - | 2,7 | 60 | |
| 3005 | То же | 2 | 94,8 | 96,2 | 30 | 5,2 | 0 | 0 | 3,8 | 70 | |
| 3006 | Известник органогенний | 2 | 99,2 | 100 | 50 | 0,8 | 1 | 0 | 0 | 49 | |
| 3007 | Известник доломитизированный | 1 | 77,2 | 65,5 | 25 | 0 | 10 | 22,8 | 34,5 | 65 | |
| 3008 | Известник органогенний | 2 | 98,4 | 97,5 | 40 | 0 | 0 | 1,6 | 2,5 | 60 | |
| 3009 | То же | 2 | 100 | 100 | 35 | 0 | 1 | 0 | 0 | 60 | |
| 3010 | Известник | 1 | 100 | 100 | 40 | 0 | 0 | 0 | 0 | 60 | |
| 3011 | Известник доломитизированный | 1 | 96,5 | 94,2 | 40 | 0 | 20 | 3,5 | 5,8 | 40 | |
| 3013 | Известник | 1 | 100 | 100 | 40 | 0 | 1 | 0 | 0 | 60 | |
| 3014 | Известник доломитизированный | 1 | 97,1 | 95,5 | 30 | 0 | 10 | 2,9 | 4,5 | 60 | |
| 3017 | То же | 1 | 88,4 | 75,5 | 20 | 0 | 15 | 11,6 | 34,5 | 65 | |
| 3018 | Песчаник | 6 | 39,9 | 30,1 | 20 | 0 | 5 | 60,1 | 69,9 | 75 | |
| 3019 | То же | 6 | 40,1 | 21,2 | 15 | 0 | 10 | 59,9 | 78,8 | 75 | |
| 3020 | То же | 6 | 39,3 | 25,1 | 20 | 0 | 5 | 69,7 | 74,9 | 75 | |
| 3021 | То же | 6 | 35,6 | 17,2 | 15 | 0 | 5 | 64,6 | 82,8 | 80 | |
| 3022 | То же | 6 | 42,1 | 5,1 | 25 | 0 | 5 | 57,9 | 94,9 | 70 | |

* Выделен нами впервые.

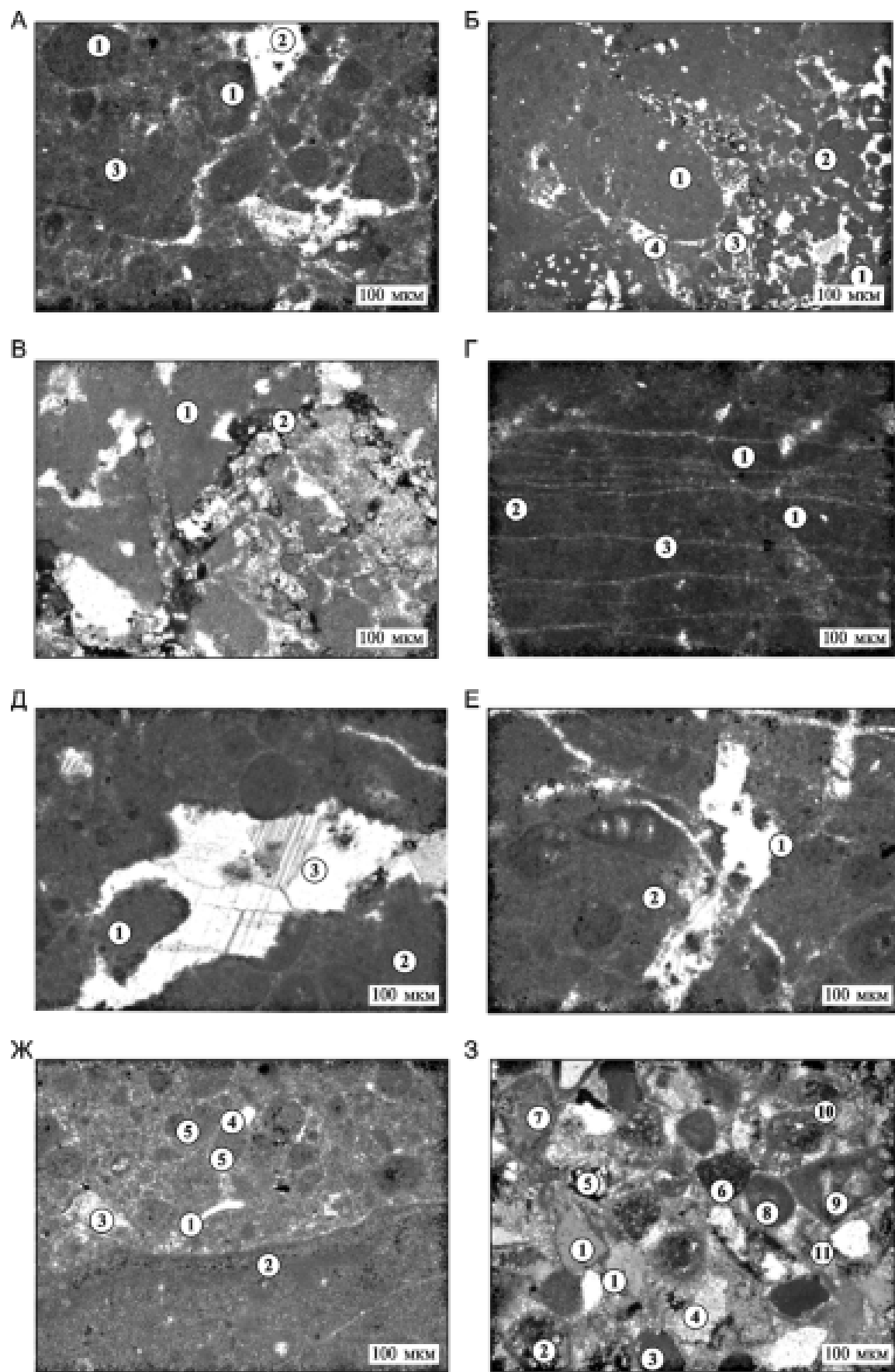
содержание доломита в исследованных образцах (не выше 4,5%), что также подтверждается исследованием микрофауны (см. выше).

В результате петрографического исследования отобранных образцов горных пород Е. В. Карповой и М. А. Варзановой (МГУ) определены следующие литологические типы: доломиты (тип 7); известники разных структурных типов (1 и 2), в разной степени доломитовые, и песчаники (тип № 6). Приведем краткий обзор полученных и систематизированных нами данных, фото шлифов приведены на рис. 1.

Доломит сфероагрегатный¹⁰ (шлиф № 3001) цианобактериально-водорослевый (с участками строматолитовой текстуры), местами сплошной микрекристаллический, с кальцитовым тонко- и мелко- (до крупнокристаллического) выполнением полостей и вторичных микротрещин, неслонистый, количество известковистого материала <5%. По-

Рис. 1. Фото шлифов: А — шлиф № 3001: 1 — сфероагрегаты; 2 — полости и пустоты выщелачивания, запеченные кальцитом и/или доломитом; 3 — участки сплошной микрекристаллической массы; Б — шлиф № 3003: 1 — обломок гравийной размерности, 2 — обломок песчаной размерности, 3 — сфероагрегаты, 4 — кристаллический кальцит в межпоровом пространстве, 5 — обломок краинодина; В — шлиф № 3003: 1 — основная микрекристаллическая масса; 2 — микростилолитовый шов; 3 — кристаллы доломита, подчеркнутые примазками органического вещества; Г — шлиф № 3004: 1 — сфероагрегаты, 2 — сплошная микрекристаллическая масса, 3 — трещиноватость; Д — шлиф № 3006: 1 — сфероагрегат; 2 — сплошная микрекристаллическая масса; 3 — пустоты, выполненные микрекристаллическим кальцитом; Е — шлиф № 3006: 1 — раковина фораминиферы в цианобактериально-водорослевой плёнке, 2 — основная микрекристаллическая масса; Ж — шлиф № 3007: 1 — обломок раковины остракод, 2 — водорослевая корка, 3 — обломок краинодина, 4 — обломок кварца, 5 — сфероагрегаты; З — шлиф № 3018: 1 — зерна кварца, 2 — кремень, 3 — обломок алевролита, 4 — обломок гранитогравия, 5 — плагиоклаз, 6 — обломок эфузива, 7 — сплошная микрекристаллическая масса, 8 — комок цианобактериально-водорослевый, 9 — фауна, 10 — цианобактериально-водорослевая плёнка облакания обломков, 11 — порочный кальцит

¹⁰ Описание породы в шлифе не соответствует результату химического анализа, что можно объяснить распространением в породе тонкодисперсной глинистой примеси, которая «маскируется» под карбонатное вещество и, вероятно, преобладает в породе (около 60%).



порода состоит из микритовых комков и сгустков с участками микронекристаллического строения внутри (или без них), с нечеткими, размытыми контурами, часто сливающимися с обильными участками сплошного микритового доломита. Цианобактериально-водорослевые сообщества представлены корочками, канальцами и слоевищами, состоящими из отдельных нитей и их скоплений. Форма слоевищ шаровидная, трубчатая, редко кустистая. Отмечены редкие участки ламинито-полосчатого строения. Встречаются единичные зерна кварца мелко-тонкопесчаной размерности и единичные раковины фораминифер с микрителизированной стенкой. Формируются такие породы в условиях замкнутой платформы (по понятиям стандартных фаций Уилсона), на участках с невысоким гидродинамическим режимом. Доломитизация первично осажденного известкового материала происходила практически сингенетично благодаря бактериально-водорослевым сообществам, создавшим определенную геохимическую среду, которая способствовала садке магнезиальных соединений. Этот литотип в отложениях свиты ранее [Фіколіна и др., 2008] не отмечался.

Известняк доломитистый (10–15%), тип 1, по [Фіколіна и др., 2008] (шлиф № 3007). Пролегают сфероагрегатные (микритовые комки и сгустки размером от 0,03 до 0,5 мм), сплошные микритовые участки, единичные микрителизированные раковины фораминифер; выполнение пустот и вторичных трещин яснокристаллическое кальцитовое. Породы неслонистые. Отмечены микростиллитовые швы, подчеркнутые органическим веществом, с амплитудой до 2 мм. Доломитизация (10–15%) приурочена как к микритовой составляющей, в виде микрозернистой массы, сингенетично замещающей кальцитовую, так и к зонам стилолитов. Здесь доломитизация проявлена в виде идиоморфных монокристаллов тонкопесчаной размерности и их скоплений, образованных на стадии катагенеза. Доломиты прослеживаются и при заполнении пустот. Обстановки осадконакопления остаются прежними.

Известняк, тип 2, по [Фіколіна и др., 2008] (шлифы № 3003, 3004, 3006). В шлифах известняки обломочные, интракластовые, от средне-крупнопесчаных до гравийно-дребезжевых, средне-сортированные, неслонистые. Структуры обломков, как и вмещающей межкомпонентной массы, сфероагрегатная, иногда сплошная микритовая. Сфероагрегаты представлены микритовыми комками и сгустками округлой и эллипсовидной формы размером от 0,05 до 0,4 мм, с размытыми контурами, часто сливающимися со сплошной микритовой массой. В межкомпонентном пространстве (помимо сфероагрегатов и микритовой массы) прослеживаются фрагменты цианобактериально-водорослевых сообществ, а также единичные микрителизированные раковины фораминифер, об-

ломки скелетов криноидей и остракод. Форменные элементы цементированы мелко-среднезернистым кальцитом или микро-яснокристаллической доломитизированной известковой массой. В породе наблюдаются микростиллитовые швы, подчеркнутые концентрацией органического вещества (ОВ), с амплитудой до 3 мм, к которым приурочены монокристаллы вторичного доломита (5%) тонкозернистой размерности, с примазками ОВ по краям кристаллов. Порода разбита системой вторичных разнонаправленных пересекающихся трещин, выполненных микроязерищистым кальцитом. В генезисе этого литотипа при сохранении в целом той же обстановки формирования прослеживается усиление гидродинамического режима, приведшее к дезинтеграции полузацвердевшего или и осаждении его уже в виде обломков (без существенного переноса).

Песчаник, тип 6 (шлиф № 3018) тонко-мелкозернистый, хорошо сортированный, неслонистый, мезомиктовый, состоит из угловато-округлых зерен кварца (60%), полевого шпата (15%), литокластов (15%) (кварцитов, эфузивов, алевритов и кремней) с примесью кальцитовых сфеरоагрегатов (10%), единичных обломков раковин и слоевищ водорослевого генезиса. Многие компоненты породы находятся в бактериальной микритовой пленке. Цемент поровый (15–20%), кальцитовый тонкокристаллический. Формирование породы происходило в условиях морского мелководья с преобладающим волновым фактором.

Условия формирования. Комплекс ископаемой фауны, который включает фораминиферы, кораллы, моллюски, брахиоподы и криноидей, характеризует мелководно-морской бассейн нормальной солености глубиной в несколько десятков метров с температурой воды выше 20 °C (по наличию кораллов) и активной гидродинамикой (зона высокой волновой энергии). Это также подтверждается данными анализа микрофауны и частично результатами петрографического исследования пород в шлифах. В частности, разделены и уточнены гидродинамические условия мелководно-морской обстановки.

Выделены: 1) условия активной волновой энергии (песчаники, литотип 6); 2) карбонатная платформа в целом со спокойным гидродинамическим режимом, но периодически с его усиливанием и перемывом осадков дна (обломочный известняк); 3) карбонатная платформа, участки со спокойным гидродинамическим режимом (микритовый, доломитизированный известняк и цианобактериально-водорослевый доломит). Перечисленные выше обстановки свидетельствуют об эвстатических вариациях. В частности, в шлифах отмечены как относительно глубоководные формы (например, криноидей и фораминиферы), так и сравнительно мелководные — цианобактерии

(строматолиты) и остракоды. В обнажении наблюдается элементарная пластовая цикличность, представленная пересланением пород с большей и меньшей карбонатностью.

По данным предшественников [Рудько, 2014], в разрезе установлены эпигенетические циклы 2- и 3-го порядков, а скорость седиментации отложений свиты на примере известняков плато Демерджи определена в пределах 0,23–0,28 м/1000 лет.

Наличие остракод, помимо крайней мелководности, может свидетельствовать и о вариациях солености бассейна (опреснение или осолонение). В большинстве случаев остракоды характеризуют солоноватоводные бассейны, в которых соленость составляет 0,5–15‰ (правда, если они встречены в породе в значительном количестве). Присутствие доломитизированных известняков и доломитов могло бы указывать на повышенную соленость, но по результатам изучения пород в щлифах доломитизация связана с изменением химического состава окружающей среды бактериальными сообществами (сингенетическая) и позднее с заполнением каверн и околотрешинных ареолов (катагенетическая).

Изученный нами интервал разреза мощностью 532 м не охватывает всю видимую мощность выходов беденекирской свиты на Бабутин-яйле, но отметим, что полученные значения мощности, на наш взгляд, заныпаны вследствие наличия не менее четырех тектонических дислокаций (типа послойных срывов, надвигов) в районе точек наблюдения 3005, 3009, 3012 и 3014–3016. Иными

словами, можно говорить о повторении одного и того же (или разных частей) разреза свиты не менее четырех раз. По нашим оценкам, изученный нами фрагмент разреза свиты имел первоначальную мощность около 130–150 м. Определение первоначальной мощности требует дополнительных исследований.

Поэтому было бы некорректно реконструировать геологическую историю всего времени формирования осадков свиты. Тем не менее отмечены смена литологического состава пород и вариации ряда изученных параметров по разрезу. Нижняя часть разреза (образцы 3021, 3019, 3018, 3022, 3020), представленная чередованием песчаников и известняков мощностью 125 м, отвечает трансгрессивной обстановке (системе трактов). Средняя часть разреза (образцы 3017–3006), охарактеризованная чередованием известняков и мергелей, мощностью 266 м отвечает обстановке высокого уровня стояния и стабилизированному уровню воды в бассейне (первая половина тракта высокого стояния). Верхняя часть разреза, выполненная чередованием доломитов, доломитизированных известняков и известняков (образцы 3005–3000), мощностью 141 м отвечает регressiveйной обстановке мелеющего бассейна (вторая половина тракта высокого стояния).

Установлены циклы флюктуаций содержания кальцита и нерастворимого остатка по данным газоволюметрического метода и метода нерастворимого остатка (рис. 2), что в большей степени можно объяснить эпистатическими вариациями.

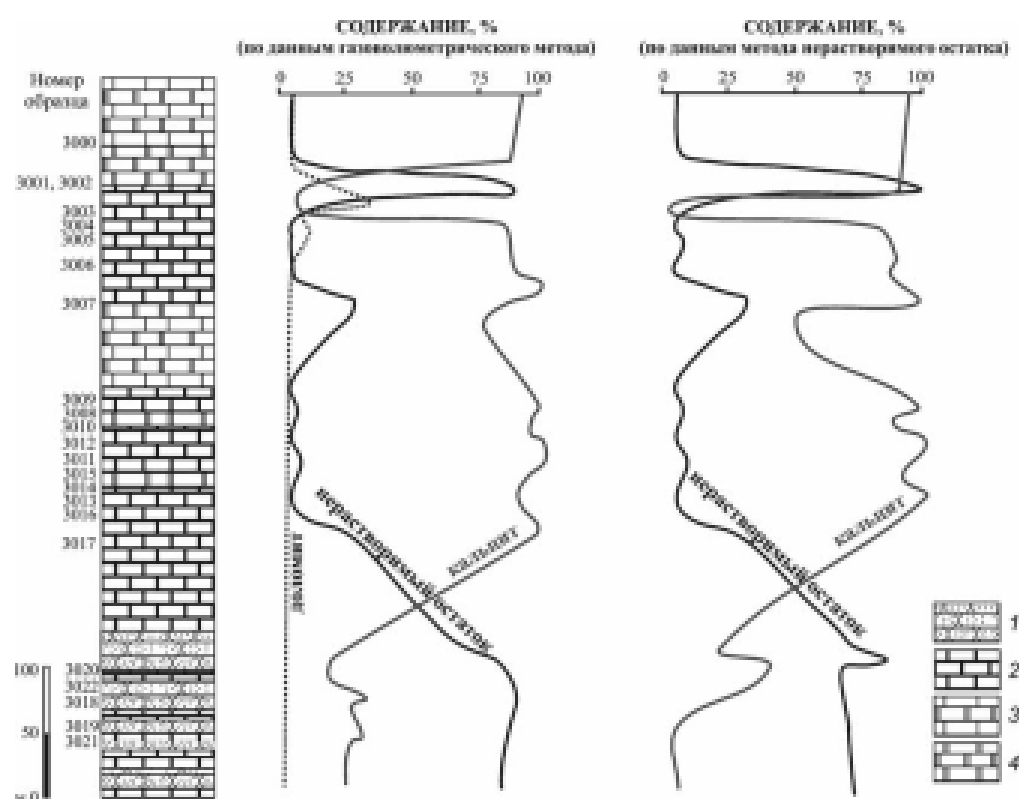


Рис. 2. Распределение содержания кальцита, доломита и нерастворимого остатка в отложениях беденекской свиты в Бабуган-Яле; 1 — песчаники, 2 — известняки, 3 — черепаховине известняки и доломиты, 4 — доломиты

В геологической истории исследуемого региона ранее [Рудько, 2014] были выделены следующие этапы. В интервале с кимериджа по ранний титон, предшествующем формированию осадков беденекирской свиты (время формирования осадков ялтинской свиты), в условиях «быстрого прогибания бассейна и общей трансгрессии происходило формирование обширной карбонатной платформы в виде ступенчатого рампа» [там же, с. 23]. Затем, с позднего титона по берриас, в условиях «разнознаковых тектонических движений и относительной регрессии» позднего титона (время формирования беденекирской свиты) имело место «изменение конфигурации платформы (превращение из ступенчатой в окаймленную) и формирование дельт Гильбертова типа» (дельты, в которых фронтальная часть иносом замечено (до 35°) наклонена и образует ярко выраженные клиноформные тела) [там же, с. 23]. Так же происходило «обмеление глубоководных частей бассейна, и формирование брекчий с разрушением части платформы на пике регрессии» [там же, с. 23].

Заключение. В результате исследования фрагмента разреза беденекирской свиты дана ее уточненная и дополненная характеристика, хорошо коррелирующая с результатами предшествующих работ. Шесть литотипов, характеризующих отложения свиты, дополнены скрытым — доломитом. Лабораторными методами подтверждена установленная на стадии полевых исследований долomitизация известняков. Определена природа доломитизации — сингенетическая и катагенетическая. Анализ распределения элементов запечатки стратонов показал тектоническую дислокирован-

ность толщи. Зоны дислокаций не коррелируют с долomitизацией толщи.

Дополнена палеонтологическая характеристика свиты цианобактериальными сообществами, остракодами и криноидами, выделены обстановки с разной гидродинамической энергией (обстановка активной волновой энергии; карбонатная платформа в целом с невысоким гидродинамическим режимом, но с его периодическим усиливением и перемывом осадков дна, а также карбонатная платформа и участки со слабым гидродинамическим режимом). В изученном разрезе установлены эвстатические вариации и выделены системные тракты. Эвстатические вариации во многом определялись тектоническим фактором.

В начале беденекирского времени (ранний титон) существовала карбонатная платформа типа ступенчатого рампа, в позднем титоне конфигурация бассейна изменилась в пользу окаймленной платформы, а в самом конце беденекирского времени (конец титона) возникла дельта гильбертова типа.

Палеогеографическая обстановка формирования осадков свиты характеризовалась в целом нормальной соленостью (иногда с вариациями в пользу увеличения солености морских вод), тепловодностью (температура выше 20 °C) и в целом активными гидродинамическими условиями (иногда с их уменьшением).

Методологически получена хорошая корреляция между результатами, полученными с помощью газомолиметрического метода и метода нерасторимого остатка. Исследование пород в щифах позволило дополнить и уточнить результаты, полученные другими методами.

СПИСОК ЛИТЕРАТУРЫ

Лифшица Г. В. Состояние изученности и проблемы исследования стратотипов юра Горного Крыма // Вісн. Харківського національного університету. Сер. Геологія, Географія. Екологія. 2015. № 1157. Вип. 42. С. 11–19.

Рудько С. В. Литология проградационных структур в перекрывающих нижнемеловых отложениях Горного Крыма: Автореф. канд. дисс. М., 2014.

Фіколіш Я. А., Білохір О. О., Обіндріка Н. О. и др. Державна геологічна карта України. Масштаб 1: 200 000.

Кримська серія. Аркуш L-36-ХХІХ (Сімферополь), L-36-ХХХV (Ялта). Пояснювальна записка. Київ: Державна геологічна служба, Казенне підприємство «Південногеометр», УкрДГРІ, 2008.

Фролов В. Г. Литология. Кн. 1: Учебное пособие. М.: Изд-во МГУ, 1992. 336 с.

Поступила в редакцию:
09.11.2016